

# Analisis dan Karakterisasi Potensi Pozzolan Sebagai Sumber Silika ( $\text{SiO}_2$ ) Untuk Meningkatkan Nilai Sumber Daya Lokal

**Erda Rahmilaila Desfitri<sup>1</sup>, Reni Desmiarti<sup>1</sup>, Munas Martynis<sup>1</sup>, Suci Rahma Dhani<sup>1</sup>**

<sup>1</sup> Prodi Teknik Kimia, Fakultas Teknologi Industri, Universitas Bung Hatta

Email: [rahmilaila@bunghatta.ac.id](mailto:rahmilaila@bunghatta.ac.id)

Received 30 Mei 2022 / Revised 10 Juni 2022 / Accepted 18 Juni 2022

## ABSTRAK

*Kabupaten Padang Pariaman memiliki sumber daya pozzolan yang belum termanfaatkan secara optimal. Pozzolan adalah bahan yang mengandung senyawa silika dan alumina. Untuk pemanfaatan yang optimal dilakukan analisis dan karakterisasi potensi pozzolan sebagai sumber silika. Silika bisa dimanfaatkan untuk bahan baku utama diberbagai industri, seperti industri gelas, keramik, katalis, pertanian dan untuk pengolahan limbah. Untuk mengetahui potensi pozzolan sebagai sumber silika dilakukan analisis kualitatif dan kuantitaif menggunakan XRD dan XRF. Berdasarkan hasil analisis pola difraksi sinar-X dengan measurement program PANalitycal ditemukan senyawa  $\text{SiO}_2$  yang tertinggi teramat pada posisi  $2\theta$  sebesar  $20^\circ$  dan  $26^\circ$ . Sedangkan analisis XRF dilakukan untuk mendapatkan informasi jumlah elemen dan oksida logam yang terkandung pada pozzolan. Hasil analisis XRF menunjukkan bahwa kadar  $\text{SiO}_2$  yang terdapat pada pozzolan adalah sejumlah 62,56%. Senyawa lain yang ditemukan pada pozzolan diantaranya  $\text{Al}_2\text{O}_3$ ,  $\text{SiO}_2$ ,  $\text{P}_2\text{O}_5$ ,  $\text{K}_2\text{O}$ ,  $\text{CaO}$  dan  $\text{Fe}_2\text{O}_3$ . Hasil penelitian menunjukkan bahwa pozzolan sangat berpotensi untuk dijadikan sumber silika.*

**Kata Kunci:** *Pozzolan, Silika, XRD, XRF*

## ABSTRACT

*Padang Pariaman regency has pozzolanic resources that have not been utilized optimally. Pozzolan is a material containing silica and alumina. For optimal utilization, analysis and characterization of the potential of pozzolan as a source of silica have been done. Silica can be used as a raw material in several industries, for example, glass, ceramic, catalyst industry, farm, and waste treatment. Qualitative and quantitative analyses by XRD and XRF were carried out to investigate pozzolan as a source of silica. Based on x-ray diffraction pattern with measurement of PANalitycal program was found  $\text{SiO}_2$  compound on  $2\theta$  position,  $20^\circ$  and  $26^\circ$  degree. XRF analysis is used to get information chemical composition of pozzolan. XRF analysis found silica composition is 62,56%. Other compounds also found in pozzolans such as  $\text{Al}_2\text{O}_3$ ,  $\text{SiO}_2$ ,  $\text{P}_2\text{O}_5$ ,  $\text{K}_2\text{O}$ ,  $\text{CaO}$ , and  $\text{Fe}_2\text{O}_3$ . The result shows that pozzolan in Padang Pariaman Regency has the potential as a source of silica.*

**Keyword:** *Pozzolanic, Silica, XRD, XRF*

## **1. PENDAHULUAN**

Pozzolan merupakan bahan yang mengandung senyawa silika dan alumina yang tidak mempunyai sifat mengikat seperti semen [1,2,3]. Menurut sumbernya pozzolan ada yang berasal dari alam (natural) dan ada yang sintetis. Pozzolan alam dapat berupa batuan tufa, abu vulkanik, batu apung, pasir alami dan tanah diatomae. Pozzolan yang berasal dari alam dikenal dengan istilah trass. Sedangkan pozzolan sintetis adalah pozzolan yang berasal dari hasil pembakaran tanah liat dan batu bara atau dikenal juga dengan istilah fly ash.

Komponen utama penyusun pozzolan adalah silika ( $SiO_2$ ), alumina ( $Al_2O_3$ ) dan besi ( $Fe_2O_3$ ) [4,5,6]. Bouyahayaoui dkk. [7] dalam penelitiannya menemukan masing-masing konsentrasi silika ( $SiO_2$ ), alumina ( $Al_2O_3$ ) dan besi ( $Fe_2O_3$ ) secara berturut-turut adalah 37,47%, 11,4%, dan 17,7%. Di penelitian lain Seynou dkk. [8] memperoleh kandungan silika ( $SiO_2$ ), alumina ( $Al_2O_3$ ) dan besi ( $Fe_2O_3$ ) dalam sampel pozzolan berkisar antara 53,88% - 72,75%; 19,06% - 29,51%; dan 0,35% - 3,71%. Sedangkan Akgün, Y [9] menemukan kandungan silika ( $SiO_2$ ), alumina ( $Al_2O_3$ ) dan besi ( $Fe_2O_3$ ) secara berturut-turut adalah 64,70%, 11,21% dan 1,38%. Kandungan ini tidak berbeda jauh dengan kadar silika dan alumina yang terdapat pada fly ash. Fly Ash mengandung silika dengan kisaran 51,42%-74,78% [10, 11, 12].

Di provinsi Sumatera Barat khususnya Kabupaten Padang Pariaman terdapat daerah pegunungan yang dijadikan sumber pozzolan dengan kapasitas potensi 5.940.000 ton [13]. Melihat potensi ini, sudah waktunya dilakukan pengembangan sumber daya pozzolan, sehingga apabila dikelola dan dimanfaatkan secara baik dan tepat akan dapat meningkatkan perekonomian masyarakat. Saat ini pemanfaatan pozzolan di wilayah Kabupaten Padang Pariaman belum begitu maksimal dimanfaatkan. Penggunaannya masih terbatas sebagai pasir timbunan, bahan pengganti semen, dan bahan pembuatan batako. Sedangkan jika dimurnikan, kandungan silika di dalam pozzolan dapat digunakan sebagai bahan baku utama dalam industri gelas, keramik, sebagai katalis, bahan tambahan pada industri pertanian, sebagai bahan penyegel sel bahan bakar dan bahan pengolahan limbah [ 14, 15, 16, 17].

Untuk pengembangan penggunaan pozzolan dan pengolahan lebih lanjut perlu dilakukan penelitian pendahuluan tentang potensi dan karakterisasi pozzolan yang ada yang ada di daerah tersebut. Pada penelitian ini dilakukan analisis dan karakterisasi pozzolan yang berlokasi di Kabupaten Padang Pariaman Sumatera Barat. Penelitian ini bertujuan untuk mengetahui berapa besar Kandungan Silika ( $SiO_2$ ) yang ada pada pozzolan di daerah tersebut.

## **2. METODOLOGI**

### **2.1. Alat dan Bahan**

Pozzolan yang dianalisis pada penelitian ini berasal dari bukit yang berada di Nagari Koto Mambang Kabupaten Padang Pariaman Sumatera Barat. Pengambilan sampel dilakukan dengan teknik penyamplingan pada lima titik yang representative, seperti pada Gambar 1. Jarak antar titik berkisar 10-20 meter. Kemudian sampel ditandai dengan kode S1, S2, S3, S4 dan S5 untuk masing-masing titik pengambilan seperti Gambar 2. Karakterisasi terhadap sampel pozzolan ini dilakukan dengan menyimpulkan hasil analisis dari dua jenis alat instrument yaitu *X-Ray Diffraction* (XRD) dan *X-Ray Fluorescence* (XRF).



Gambar 1. Titik Pengambilan Sampel



Gambar 2. Sampel Pozzolan

## 2.2. Metode

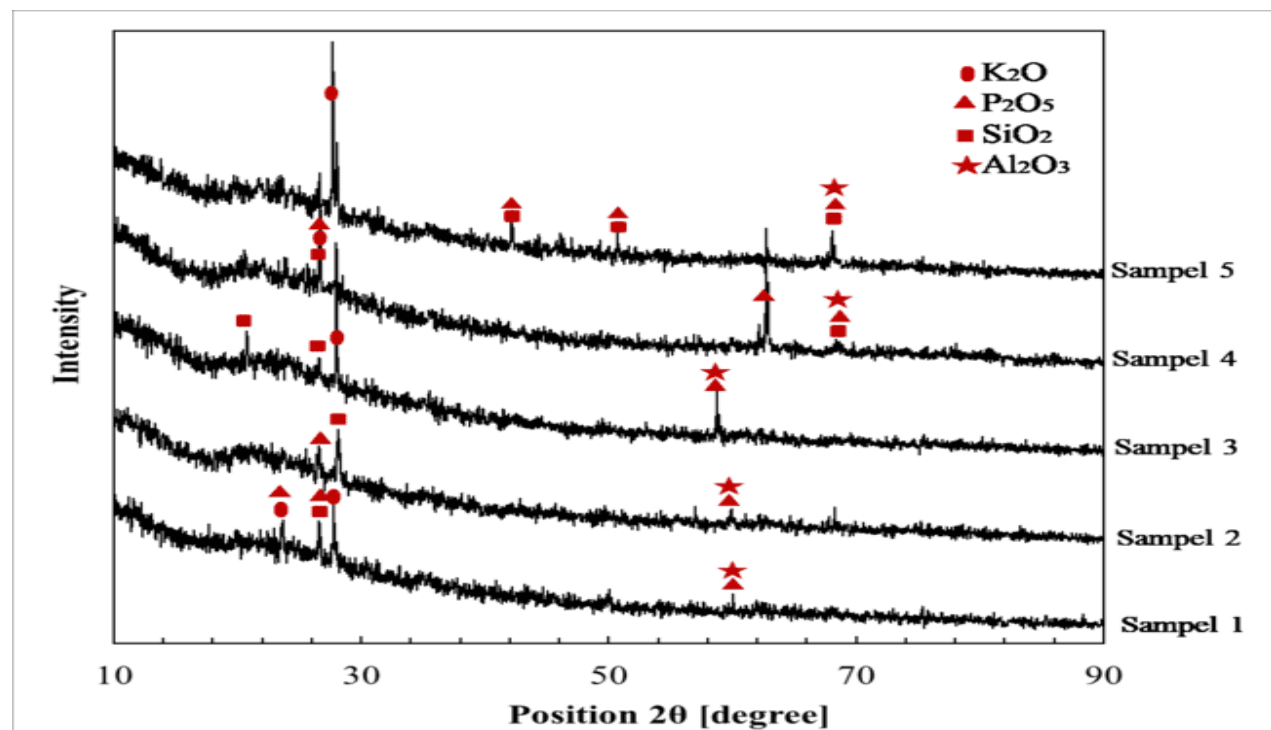
Karakterisasi terhadap sampel pozzolan ini dilakukan dengan menggunakan metode analisis secara kualitatif menggunakan *X-Ray Diffraction* (XRD) dan secara kuantitatif menggunakan *X-Ray Fluorescence* (XRF). Analisis menggunakan XRD dilakukan untuk melihat struktur oksida pada sampel. Pengujian menggunakan XRD dilakukan di Laboratorium Universitas Negeri Padang dengan menggunakan radiasi Cu sebagai anode material pada posisi start  $10^\circ$  dan berakhir di posisi  $90^\circ$  ( $2\theta$ ). Analisis dilakukan pada ukuran sampel 10 mm dengan suhu  $25^\circ\text{C}$ . Data yang dikeluarkan oleh analisis XRD adalah berupa pola difraksi sinar-x yang merupakan

plot intensitas yang terbentuk ketika sampel menghamburkan sinar-x yang bersangkutan pada berbagai derajat intensity [18]. Analisis XRF dilakukan untuk mengetahui jumlah dan komposisi elemen yang terkandung di dalam pozzolan juga dilakukan dilaboratorium yang sama. Prinsip kerja XRF berdasarkan prilaku interaksi antara berkas electron dan sinar-x dengan sampel. Hasil XRF berupa spektrum hubungan energi eksitasi dan intensitas sinar-x. Energi eksitasi menunjukkan unsur penyusun sampel dan intensitas menunjukkan nilai kualitas dari unsur tersebut. Semakin tinggi intensitasnya maka semakin tinggi pula persentase unsur tersebut dalam sampel [19, 20].

### 3. HASIL DAN PEMBAHASAN

#### 3.1. Analisis Kualitatif Menggunakan X-Ray Diffraction

Hasil analisis dengan menggunakan XRD dari lima sampel pozzolan diperoleh seperti pada Gambar 3. Pola difraktogram yang dihasilkan berupa deretan puncak-puncak difraksi dengan intensitas relative sepanjang posisi  $2\theta$ . Besarnya intensitas puncak difraksi bergantung pada jumlah atom yang ada dan distribusinya dalam suatu material [18, 21]. Pola difraksi material pada Gambar 3 menunjukkan tidak adanya perbedaan pola yang signifikan di antara kelima sampel pozzolan. Berdasarkan hasil analisis pola difraksi sinar-x dengan *measurement program PANalytical* ditemukan senyawa  $SiO_2$  yang tertinggi teramati pada posisi  $2\theta$  sebesar  $20^\circ$  dan  $26^\circ$ . Hasil ini hampir berdekatan dengan posisi  $SiO_2$  yang masih berupa amorf pada batu apung (pumice) yang terletak pada posisi  $2\theta$  sebesar  $22^\circ$  [22]. Senyawa lain yang teramati adalah  $K_2O$ ,  $P_2O_5$ ,  $SiO_2$  dan  $Al_2O_3$ . Adanya fasa silika yang ditunjukkan oleh XRD menandakan bahwa pozzolan perpotensi sebagai sumber silika. Untuk mengetahui jumlah silika yang terdapat pada pozzolan tersebut dilakukan analisis menggunakan XRF.



Gambar 3. Pola Difraksi Sinar-X (XRD) dari Sampel Pozzolan

### 3.2. Analisa Kuantitatif Menggunakan X-Ray Fluorescence

Analisis XRF ini dilakukan untuk mendapatkan informasi jumlah elemen dan oksida logam yang terkandung pada pozzolan. Tabel 1-5 menunjukkan komponen utama hasil analisis dengan metode x-ray fluorescence spectrometer (XRF) pada sampel pozzolan.

**Table 1. Hasil Analisis Kuantitatif Komposisi Sampel 1**

Elemen	Jumlah [%]	Oksida	Jumlah [%]
Al	9,09	Al <sub>2</sub> O <sub>3</sub>	11,73
Si	38,25	SiO <sub>2</sub>	51,26
P	4,64	P <sub>2</sub> O <sub>5</sub>	6,01
K	15,90	K <sub>2</sub> O	10,09
Ca	9,55	CaO	6,54
Ti	1,34	TiO <sub>2</sub>	1,05
Mn	0,49	MnO	0,29
Fe	18,06	Fe <sub>2</sub> O <sub>3</sub>	11,59
Zn	0,10	ZnO	0,05
Rb	0,31	Rb <sub>2</sub> O	0,14
Sr	0,29	SrO	0,14
Ag	1,16	Ag <sub>2</sub> O	0,66
Ba	0,66	BaO	0,35
Cl	0,17	ClO	0,09
<b>Total</b>	100,00		100,00

**Tabel 2. Hasil Analisis Kuantitatif Komposisi Sampel 2**

Elemen	Jumlah [%]	Oksida	Jumlah [%]
Al	14,26	Al <sub>2</sub> O <sub>3</sub>	16,81
Si	65,56	SiO <sub>2</sub>	72,48
P	1,65	P <sub>2</sub> O <sub>5</sub>	1,58
K	8,84	K <sub>2</sub> O	4,25
Ca	3,30	CaO	1,73
Ti	0,42	TiO <sub>2</sub>	0,26
Mn	0,15	MnO	0,07
Fe	4,59	Fe <sub>2</sub> O <sub>3</sub>	2,31
Zn	0,02	ZnO	0,01
Rb	0,08	Rb <sub>2</sub> O	0,03
Sr	0,06	SrO	0,02
Ag	0,70	Ag <sub>2</sub> O	0,30
Ba	0,24	BaO	0,10
Cl	0,12	ClO	0,05
<b>Total</b>	100,00		100,00

**Tabel 3. Hasil Analisis Kuantitatif Komposisi Sampel 3**

<b>Elemen</b>	<b>Jumlah [%]</b>	<b>Oksida</b>	<b>Jumlah [%]</b>
<b>Al</b>	12,47	Al <sub>2</sub> O <sub>3</sub>	14,77
<b>Si</b>	66,31	SiO <sub>2</sub>	73,92
<b>P</b>	1,78	P <sub>2</sub> O <sub>5</sub>	1,71
<b>K</b>	9,33	K <sub>2</sub> O	4,50
<b>Ca</b>	3,67	CaO	1,92
<b>Ti</b>	0,42	TiO <sub>2</sub>	0,25
<b>Mn</b>	0,15	MnO	0,07
<b>Fe</b>	4,66	Fe <sub>2</sub> O <sub>3</sub>	2,35
<b>Zn</b>	0,02	ZnO	0,01
<b>Rb</b>	0,08	Rb <sub>2</sub> O	0,03
<b>Sr</b>	0,08	SrO	0,03
<b>Ag</b>	0,67	Ag <sub>2</sub> O	0,29
<b>Ba</b>	0,25	BaO	0,10
<b>Cl</b>	0,12	ClO	0,05
<b>Total</b>	100,00		100,00

**Tabel 4. Hasil Analisis Kuantitatif Komposisi Sampel 4**

<b>Elemen</b>	<b>Jumlah [%]</b>	<b>Oksida</b>	<b>Jumlah [%]</b>
<b>Al</b>	8,90	Al <sub>2</sub> O <sub>3</sub>	10,52
<b>Si</b>	37,70	SiO <sub>2</sub>	61,75
<b>P</b>	3,43	P <sub>2</sub> O <sub>5</sub>	5,36
<b>K</b>	19,34	K <sub>2</sub> O	9,18
<b>Ca</b>	9,77	CaO	4,61
<b>Ti</b>	1,29	TiO <sub>2</sub>	0,67
<b>Mn</b>	0,50	MnO	0,19
<b>Fe</b>	15,97	Fe <sub>2</sub> O <sub>3</sub>	6,63
<b>Zn</b>	0,08	ZnO	0,03
<b>Rb</b>	0,35	Rb <sub>2</sub> O	0,09
<b>Sr</b>	0,30	SrO	0,09
<b>Ag</b>	1,22	Ag <sub>2</sub> O	0,52
<b>Ba</b>	0,77	BaO	0,27
<b>Cl</b>	0,39	ClO	0,11
<b>Total</b>	100,00		100,00

**Tabel 5. Hasil Analisis Kuantitatif Komposisi Sampel 5**

<b>Elemen</b>	<b>Jumlah [%]</b>	<b>Oksida</b>	<b>Jumlah [%]</b>
<b>Al</b>	9,26	Al <sub>2</sub> O <sub>3</sub>	12,87
<b>Si</b>	49,58	SiO <sub>2</sub>	53,39
<b>P</b>	4,31	P <sub>2</sub> O <sub>5</sub>	4,41
<b>K</b>	15,30	K <sub>2</sub> O	11,39
<b>Ca</b>	7,89	CaO	6,69
<b>Ti</b>	0,86	TiO <sub>2</sub>	0,86
<b>Mn</b>	0,34	MnO	0,26
<b>Fe</b>	10,22	Fe <sub>2</sub> O <sub>3</sub>	8,65
<b>Zn</b>	0,05	ZnO	0,04
<b>Rb</b>	0,21	Rb <sub>2</sub> O	0,13
<b>Sr</b>	0,17	SrO	0,12
<b>Ag</b>	1,03	Ag <sub>2</sub> O	0,68
<b>Ba</b>	0,55	BaO	0,37
<b>Cl</b>	0,21	ClO	0,13
<b>Total</b>	100,00		100,00

Dari hasil analisis, XRF mengidentifikasi unsur-unsur yang terdapat pada kelima sampel diantaranya, Al (alumina), Si (silika), P (pospor), K (kalium), Ca (kalsium) dan Fe (besi). Unsur-unsur tersebut kemudian membentuk senyawa-senyawa oksida seperti Al<sub>2</sub>O<sub>3</sub>, SiO<sub>2</sub>, P<sub>2</sub>O<sub>5</sub>, K<sub>2</sub>O, CaO dan Fe<sub>2</sub>O<sub>3</sub>. Jika dirata-ratakan, komposisi pozzolan yang terletak di bukit yang berada di Nagari Koto Mambang Kabupaten Padang Pariaman Sumatera Barat adalah seperti yang terdapat pada Tabel 6.

**Table 6. Komposisi Kimia Sampel Pozzolan**

<b>Komposisi</b>	<b>Satuan</b>	<b>Kode Sampel</b>					<b>Rata-Rata</b>
		<b>S1</b>	<b>S2</b>	<b>S3</b>	<b>S4</b>	<b>S5</b>	
<b>Al<sub>2</sub>O<sub>3</sub></b>		11,73	16,81	14,77	10,52	12,87	13,34
<b>SiO<sub>2</sub></b>		51,26	72,48	73,92	61,75	53,39	62,56
<b>P<sub>2</sub>O<sub>5</sub></b>		6,01	1,58	1,71	5,36	4,41	3,81
<b>K<sub>2</sub>O</b>		10,09	4,25	4,50	9,18	11,39	7,88
<b>CaO</b>		6,54	1,73	1,92	4,61	6,69	4,30
<b>TiO<sub>2</sub></b>	%	1,05	0,26	0,25	0,67	0,86	0,62
<b>MnO</b>		0,29	0,07	0,07	0,19	0,26	0,18
<b>Fe<sub>2</sub>O<sub>3</sub></b>		11,59	2,31	2,35	6,63	8,65	6,31
<b>ZnO</b>		0,05	0,01	0,01	0,03	0,04	0,03
<b>Rb<sub>2</sub>O</b>		0,14	0,03	0,03	0,09	0,13	0,08
<b>SrO</b>		0,14	0,02	0,03	0,09	0,12	0,08
<b>Ag<sub>2</sub>O</b>		0,66	0,30	0,29	0,52	0,68	0,49
<b>BaO</b>		0,35	0,10	0,10	0,27	0,37	0,24
<b>ClO</b>		0,09	0,05	0,05	0,11	0,13	0,09

Pada Tabel 6 dapat terlihat komposisi rata-rata kimia yang terdapat pada pozzolan. Walaupun sampel diambil dari daerah yang sama, namun komposisi pozzolan berbeda di setiap titik pengambilannya. Oleh karena itu untuk pengolahan sampel untuk selanjutnya harus melakukan pengambilan di beberapa titik. Supaya sampel yang dianalisis bersifat representative.

Komponen terbesar pada pozzolan adalah  $SiO_2$ ,  $Al_2O_3$ ,  $K_2O$ ,  $CaO$ ,  $P_2O_5$  dan  $Fe_2O_3$ . Keberadaan senyawa ini juga didukung oleh hasil analisis pada XRD yang menemukan pola-pola difraksi senyawa-senyawa tersebut. Dari sini terlihat bahwa komponen terbesar pada pozzolan adalah  $SiO_2$  dengan jumlah rata-rata 62,56% diikuti oleh  $Al_2O_3$  dan  $K_2O$  dengan rata-rata 13,34% dan 7,88% masing-masingnya. Kandungan  $SiO_2$  ini lebih tinggi jika dibandingkan dengan  $SiO_2$  yang ada pada pasir tablolong yang hanya mengandung 36,47% [23], batuan trass 40%-56% [24], fly ash 45,38% [25] dan batu apung 48% [26]. Begitu juga dengan kandungan silika pada pozzolan yang ditemukan oleh Bouyahayaoui dkk hanya berjumlah 37,47% [7]. Hasil analisis XRF menunjukkan bahwa pozzolan yang berasal dari kabupaten Padang Pariaman ini didominasi oleh silika.

#### 4. KESIMPULAN

Berdasarkan hasil analisis kualitatif dan kuantitatif menggunakan XRD dan XRF pada pozzolan di Kabupaten Padang Pariaman maka dapat disimpulkan bahwa pozzolan yang berada di daerah tersebut memiliki potensi untuk dijadikan sebagai sumber silika. Berdasarkan hasil analisis XRF kandungan  $SiO_2$  yang ada pada pozzolan ini adalah 62,56%. Untuk penggunaan lebih lanjut perlu dilakukan pemisahan dan pemurnian silika sehingga pemanfaatan bisa dioptimalkan. Informasi pada tulisan ini dapat digunakan sebagai acuan untuk pengolahan pozzolan sebagai sumber silika.

#### DAFTAR PUSTAKA

- [1] Siswati, N. D., Ardiantono, F. A., & Putri, L. K. (2018). Karakterisasi Komponen Aktif Pozzolan Untuk Pengembangan Portland Pozzolan Cement (Ppc). *Jurnal Teknik Kimia*, 12(2), 52–56. <https://doi.org/10.33005/tekkim.v12i2.1085>
- [2] Hendrawati, N., Rahmayanti, E. D., & Priapnasar, E. D. (2018). Study Pembuatan Durable Cement dengan Penambahan Pozzolan Silica Fume. *Jurnal Teknik Kimia Dan Lingkungan*, 2(1), 31. <https://doi.org/10.33795/jtkl.v2i1.68>
- [3] Menéndez, E., Sanjuán, M. Á., García-Roves, R., Argiz, C., & Recino, H. (2020). Sustainable and durable performance of pozzolanic additions to prevent alkali-silica reaction (ASR) promoted by aggregates with different reaction rates. *Applied Sciences (Switzerland)*, 10(24), 1–24. <https://doi.org/10.3390/app10249042>
- [4] Akabiluru, K., Lima, K., Kota, P., & Barat, P. S. (n.d.). *Analisis Potensi Batuan Trass (Pozzolan ) Untuk Bahan Baku Pembuatan Semen di PT . Bumi Hijau Citra Andalas Site Batu*. 5(1), 106–115.
- [5] Alp, I., Deveci, H., Süngün, Y. H., Yilmaz, A. O., Kesimal, A., & Yilmaz, E. (2009). Pozzolanic characteristics of a natural raw material for use in blended cements. *Iranian Journal of Science and Technology, Transaction B: Engineering*, 33(4), 291–300.
- [6] Rafia F, Dietmar S, Jean NYD, 2018, Natural pozzolan based geopolymers: A review on mechanical, microstructural and durability characteristics, j.con.build.mat Vol.190. Page1251-1265

- [7] Bouyahayaoui, A., Cherkaoui, M., Abidi, L., & Cherradi, T. (2018). Mechanical and chemical characterisation of pozzolan of middele atlas in Morocco. *International Journal of GEOMATE*, 14(41), 126–134. <https://doi.org/10.21660/2018.41.91013>
- [8] Seynou, M., Millogo, Y., Zerbo, L., Sanou, I., Ganon, F., Ouedraogo, R., & Kaboré, K. (2016). Production and Characterization of Pozzolan with Raw Clay from Burkina Faso. *Journal of Minerals and Materials Characterization and Engineering*, 04(03), 195–209. <https://doi.org/10.4236/jmmce.2016.43018>
- [9] Akgün, Y. (2017). Determination of pozzolanic activity for using natural zeolite analcime in sustainability additive cement products. *Periodicals of Engineering and Natural Sciences*, 5(2), 187–193. <https://doi.org/10.21533/pen.v5i2.114>
- [10] Desfitri, E. R., Sutopo, U. M., Hayakawa, Y., & Kambara, S. (2020). Effect of additive material on controlling chromium (Cr) leaching from coal fly ash. *Minerals*, 10(6), 1–12. <https://doi.org/10.3390/min10060563>
- [11] Sutopo, U. M., Desfitri, E. R., Hanum, F. F., Hayakawa, Y., & Kambara, S. (2021). An experimental and thermodynamic equilibrium analysis on the leaching process of arsenic (As) from coal fly ash. *Nihon Enerugi Gakkaishi/Journal of the Japan Institute of Energy*, 100(8), 102–109. <https://doi.org/10.3775/jie.100.102>
- [12] Sutopo, U. M., Desfitri, E. R., Hayakawa, Y., & Kambara, S. (2021). A role of mineral oxides on trace elements behavior during pulverized coal combustion. *Minerals*, 11(11), 1–13. <https://doi.org/10.3390/min11111270>
- [13] <https://padangpariamankab.go.id/2013/07/15/bahan-galian-trass/> Website Resmi Padang Pariaman, dikunjungi tanggal 27 April 2022.
- [14] Dewa, E., Musyarofah, Nurbaiti, U., Triwikantoro, Firdaus, S., & Pratapa, S. (2015). Enhancing the Value of Local Silica Sand from Bancar as a Fuel-Cell Sealing Material. *Advanced Materials Research*, 1112(May 2016), 262–265. <https://doi.org/10.4028/www.scientific.net/amr.1112.262>
- [15] Musyarofah, Nurbaiti, U., Dewa, E., Triwikantoro, Mashuri, Firdaus, S., & Pratapa, S. (2015). Use of Natural Silica Sand as a Component for Prospective Fuel Cell Sealing Materials. *Advanced Materials Research*, 1123(October), 383–386. <https://doi.org/10.4028/www.scientific.net/amr.1123.383>
- [16] Hanum, F. F., & Rahayu, A. (2022). Studi Pemanfaatan dan Metode Pemisahan Silika dari Coal Fly Ash: A Study for Silika Utilization and Its Separation Method from Coal Fly Ash. *Open Science and Technology*, 2(1), 26–32.
- [17] Rahayu, A., Fadhillah Hanum, F., Aldilla Fajri, J., Dwi Anggraini, W., & Khasanah, U. (2021). Pengolahan Limbah cair Industri dengan Menggunakan Silika: A Review: Industrial Liquid Waste Treatment Using Silica. *Opscitech.Com*, 02(01), 2776–169. <https://www.opscitech.com/jurnal/article/view/38>
- [18] To, P. S. (1999). Chapter 7: Basics of X-ray Diffraction. *Solutions*, 1–25. <http://epswww.unm.edu/xrd/xrdbasics.pdf>
- [19] Jamaludin, A., & Adiantoro, D. (2012). Analisis Kerusakan X-Ray Fluorescence (XRF). *Issn 1979-2409, V(09–10), 19–28.* <http://jurnal.batan.go.id/index.php/pin/article/view/1130>
- [20] Jamaluddin, Darwis, A., & Massinai, M. A. (2018). X-Ray Fluorescence (XRF) to identify chemical analysis of minerals in Buton island, SE Sulawesi, Indonesia. *IOP Conference Series: Earth and Environmental Science*, 118(1), 0–5. <https://doi.org/10.1088/1755-1315/118/1/012070>

- [21] Alimin, Maryono, & Putri, S. E. (2016). Analisis Kandungan Mineral Pasir Pantai Losari Kota Makassar Menggunakan XRF dan XRD. *Chemica: Jurnal Ilmiah Kimia Dan Pendidikan Kimia*, 17(2), 19–23.
- [22] Trianasari., Manurung, P., & Karo-karo, P. (2017). Analisis dan karakterisasi kandungan silika ( $SiO_2$ ) sebagai hasil ekstraksi batu apung (pumice). *Jurnal Teori Dan Aplikasi Fisika*, 05(1), 9–14.
- [23] Sutal, Y., Pingak, R. K., Ahab, A. S., & Baunsele, S. D. (2019). Kajian Awal Ekstraksi Silika Dari Pasir Noeloko Menggunakan X-Ray Fluorescence. *Seminar nasional sains dan teknik fst undana (sainstek)*, June, 278–289.
- [24] Siswanto & Kurniati, E. (2020). Karakteristik Silika Powder Berbasis Batuan Tras dengan Proses Ekstraksi dan Presipitasi. *Journal of Research and Technology* 6(1), 1–6.
- [25] Hanum, F. F., & Rahayu, A., Sutopo, U.M., Mufrodi, Z. (2020). Coal Fly Ash Characterization from Cement Industry “X” as an Initial Study in Its Utilization. *CHEMICA: Jurnal Teknik Kimia*, 7(1), 57–62.
- [26] Mourhly, A., Khachani, M., El Hamidi, A., Kacimi, M., Halim, M., & Arsalane, S. (2015). The synthesis and characterization of low-cost mesoporous silica  $SiO_2$  from local pumice rock. *Nanomaterials and Nanotechnology*, 5. <https://doi.org/10.5772/62033>